

## ВЛИЯНИЕ ТЕХНОЛОГИИ ИЗГОТОВЛЕНИЯ СИСТЕМ ОХЛАЖДЕНИЯ ЛАЗЕРНЫХ ЗЕРКАЛ НА ИХ ЭФФЕКТИВНОСТЬ

Ю.И. Шанин, О.И. Шанин

*ФГУП «НИИ НПО «Луч», Подольск, Россия, syi@luch.podolsk.ru*

Из наиболее сильных технологических факторов, оказывающих влияние на тепло-гидравлические характеристики системы охлаждения лазерного зеркала, можно выделить два: 1) шероховатость, присущую способу формирования структуры и способу ее соединения, и 2) термическое сопротивление соединения.

В экспериментах использовались образцы систем охлаждения, полученные различными способами: нарезанием фрезой, волочением, электроэрозионной обработкой.

Шероховатость увеличивает коэффициент гидравлического сопротивления. Этот факт широко известен и среди множества формул, аппроксимирующих экспериментальные данные, выберем зависимость, приведенную в монографии Шлихтинга Г. и хорошо описывающую результаты для эквивалентной шероховатости в переходной области ее влияния (т.е. в доавтомодельной области):

$$\frac{1}{\sqrt{\xi_{ш}}} = 1.74 - 2 \lg \left( \frac{2K_s}{d_z} + \frac{18.7}{\text{Re} \sqrt{\xi_{ш}}} \right). \quad (1)$$

Она использовалась нами для обобщения экспериментальных результатов. Для конкретного ее использования необходимо установить связи между технической шероховатостью, присущей способу формирования и эквивалентной песочной шероховатостью  $K_s$ . Сведения о высоте микронеровностей  $R$  и  $R_z$ , образовавшихся в результате электроэрозионной обработки каналов, в зависимости от различных факторов содержат работы [1, 2]. В зависимости от материала и режима обработки (величины тока  $I$  и его частоты  $f$ ) [1,2] величина  $R_z$  у металлокерамического твердого сплава Т14К8 составляет 5 мкм ( $I=5A$ ,  $f=88$  кГц), а у стали 45 -  $R_z=10$  мкм ( $I=5A$ ,  $f=99$  кГц). Изменение характеристик процесса ( $I=40A$ ,  $f=8$  кГц) приводит к увеличению шероховатости до 22 мкм у Т14К8 и 30 мкм у стали 45. Для нержавеющей стали 1Х18Н9Т величина  $R_z=40\div 80$  мкм в зависимости от длительности и энергии импульса [1].

При исследовании тепло-гидравлических характеристик у канальных систем охлаждения, сформированных в молибдене электроэрозионным способом, шероховатость изменялась в широком диапазоне  $R_z=5\div 30$  мкм. Выше речь шла о среднем значении величины шероховатости. Исследования [2] показывают, что среднее значение  $R$  шероховатости поверхности, обработанной электроэрозионным способом, смещено на величину  $\Delta R$  в сторону меньших значений высот по сравнению с нормальным законом распределения шероховатости, полученной механической обработкой, а наиболее подходящим законом для описания статистического размера шероховатости является нормальный логарифмический закон. При отсутствии закономерности, связывающей  $K_s$  и среднее значение  $R_z$ , в качестве первого приближения можно использовать  $K_s=R_z$ .

Интенсифицирующее теплоотдачу влияние шероховатости также хорошо известно. Наряду с многочисленными экспериментальными данными имеются

различные аналитические подходы к учету интенсифицирующего влияния шероховатости. Не останавливаясь на сравнительном анализе преимуществ и недостатков различных подходов, нами использован метод расчета теплоотдачи шероховатой поверхности при турбулентном течении, основанный на четырехслойной схеме потока (вязкий подслой, промежуточная область, вихревое ядро во впадине и турбулентное ядро в основном потоке) [3], который справедлив в широком диапазоне чисел  $Re$  и  $Pr$ . Формула для теплоотдачи носит аддитивный характер для вкладов в отдельных слоях и имеет вид (при отнесении  $Nu$  к гладкой поверхности):

$$Nu_{us} = \left(1 + \frac{1.75}{Pr+8}\right) Re Pr \sqrt{\frac{\xi_{us}}{8}} \left\{ \begin{array}{l} \sqrt{\frac{8}{\xi_{us}}} (1.325 \sqrt{\xi_{us}} + 1) \left[ 1 - \left(\frac{2K_s}{d_s}\right)^{\sqrt{\xi_{us}}} \right] + 5\sqrt{n} Pr \left( \frac{1.285}{Pr^{0.21}} - \frac{0.265}{Pr^{1.2}} \right) + \\ 5\sqrt{n} \ln(5Pr+1) + \sqrt{n} \frac{(2K_s/d_s) Re \sqrt{\xi_{us}/32} - 30/\sqrt{n}}{\frac{1}{Pr} + 0.4 \sqrt{\frac{\xi_{us}}{32}} \left(1 - \frac{2K_s}{d_s}\right) \frac{2K_s}{d_s}} \end{array} \right\}^{-1} \quad (2)$$

где  $n=F_{ш}/F_{гп}$  - отношение полной шероховатой поверхности к поверхности гладкой трубы того же диаметра,  $\xi_{ш}$ - определен по формуле (1).

Формула (2) содержит величину  $n$ , вычислить которую можно достаточно просто для искусственно нанесенной шероховатости. В случае технической шероховатости рассчитать  $n$  можно, имея статистический закон распределения шероховатости по размеру. Для оценок можно использовать первое приближение  $n \approx 1$ .

Интенсификация теплоотдачи шероховатых поверхностей по сравнению с гладкими каналами имеет место при  $Re=const$ . При условии ограничения перепада давления на теплообменнике ( $\Delta p=const$ ) выигрыш в теплоотдаче при шероховатых стенках канала теряется за счет уменьшения расхода. Эффективность шероховатости с теплообменной точки зрения в этом случае можно оценить в соответствии с работой [4] по отношениям  $(Nu_{us}/Nu_{zl})/(\xi_{us}/\xi_{zl})$ ,  $(Nu_{us}/Nu_{zl})^{3.5}/(\xi_{us}/\xi_{zl})$ .

Нами исследовано поведение безразмерных сопротивления  $\bar{\xi} = \xi_{us}/\xi_{zl}$  и теплоотдачи  $\bar{Nu} = Nu_{us}/Nu_{zl}$  в зависимости от высоты микронеровностей  $d_f/2K_s$  (рис.1, 2) и числа Рейнольдса  $Re$  (рис.3) для различных теплоносителей - вода ( $Pr=7$ ) и воздух ( $Pr=0.71$ ). При этом для гладких каналов принимались зависимости, хорошо зарекомендовавшие себя в области развитого турбулентного течения:

$$\xi_{zl} = 0.316 Re^{-0.25}, \quad Nu_{zl} = 0.021 Pr^{0.43} Re^{0.8}.$$

Сопротивление сильно возрастает при малых отношениях  $d_f/2K_s$ , теплоотдача нарастает медленнее. Применение воды при шероховатости  $50 < d_f/2K_s < 100$  дает отношение  $\bar{Nu}/\bar{\xi} = 0.95 \div 1.02$  (рис.1б) и шероховатость практически не влияет на эффективность  $(\bar{Nu}^{3.5}/\bar{\xi})$ . Использование же воздуха для этих же диапазонов параметра  $d_f/2K_s$  дает  $\bar{Nu}/\bar{\xi} = 0.75 \div 0.77$  (рис.2б) и энергетическая эффективность интенсификации от шероховатости сильно падает  $((\bar{Nu}^{3.5}/\bar{\xi}) = 0.5 \div 0.54)$ .

В оценках использовано предположение  $n=1$ . В случае же  $n=2$  заметно (на 20÷30%) снижается  $\bar{Nu}$ , а, следовательно, и  $\bar{Nu}/\bar{\xi}$ . Использование для шероховатых каналов известной зависимости Нуннера [4]

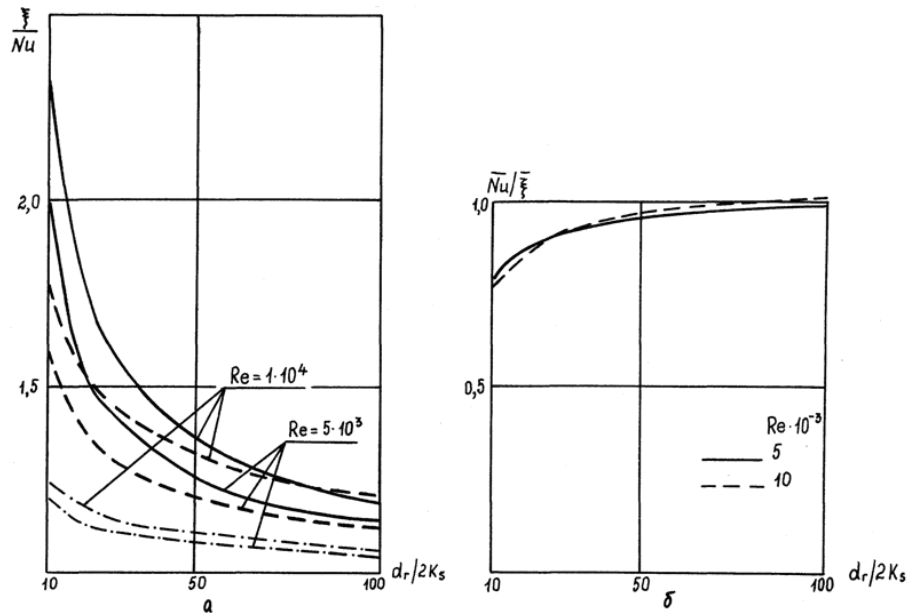


Рис. 1. Зависимость относительных коэффициентов трения  $\xi = \xi_{ш}/\xi_{гп}$  и теплоотдачи  $\bar{Nu} = Nu_{ш}/Nu_{гп}$  от высоты микронеровностей при турбулентном течении воды,  $Pr=7$ : сплошная линия -  $\xi$ , штриховая линия -  $\bar{Nu}$  [3], штрихпунктирная линия -  $\bar{Nu}$  [4, Нуннер].

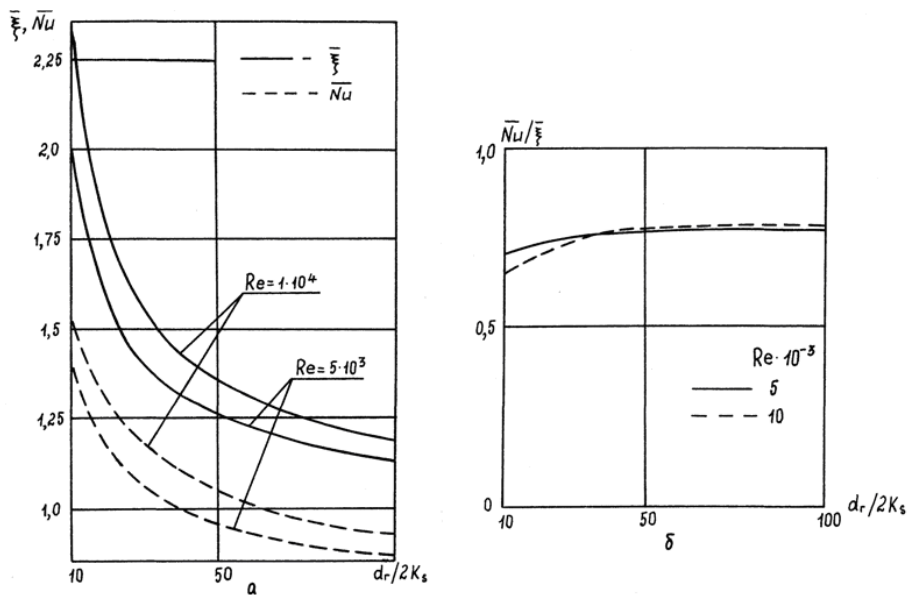


Рис. 2. Зависимость относительных коэффициентов трения  $\xi = \xi_{ш}/\xi_{гп}$  и теплоотдачи  $\bar{Nu} = Nu_{ш}/Nu_{гп}$  от высоты микронеровностей при турбулентном течении воздуха,  $Pr=0.7$ .

$$\bar{Nu} = \frac{Nu_{ш}}{Nu_{гп}} = \frac{\xi_{ш}}{\xi_{гп}} \frac{1 + 1.5 Re^{-1/8} Pr^{-1/6} (Pr + 1)}{1 + 1.5 Re^{-1/8} Pr^{-1/6} \left( \frac{\xi_{ш}}{\xi_{гп}} Pr + 1 \right)}, \quad (3)$$

дает несколько меньшие результаты, чем в случае использования формулы (2) при  $n=1$ . Это может свидетельствовать о том, что  $n > 1$ . С другой стороны, авторы [4] критикуют зависимость (3) из-за ошибочной физической модели, положенной Нуннером в основу своих расчетов.

Таким образом, теплоотдача и энергетическая эффективность плоских теплообменников, работающих на воде ( $Pr=5 \div 10$ ) при условии  $\Delta P = const$  практически не зависели от шероховатости. Можно показать, что при одностороннем тепловом потоке

в такой теплообменник шероховатость стенок каналов оказывает слабое влияние на приведенные характеристики теплоотдачи  $[(\alpha_{пр})_{ш}/(\alpha_{пр})_{гл}]=1.1 \div 1.2$  и сильнее сказывается на теплоизоляции конструкции  $[(K_{ти})_{ш}/(K_{ти})_{гл}]=0.4 \div 0.5$ .

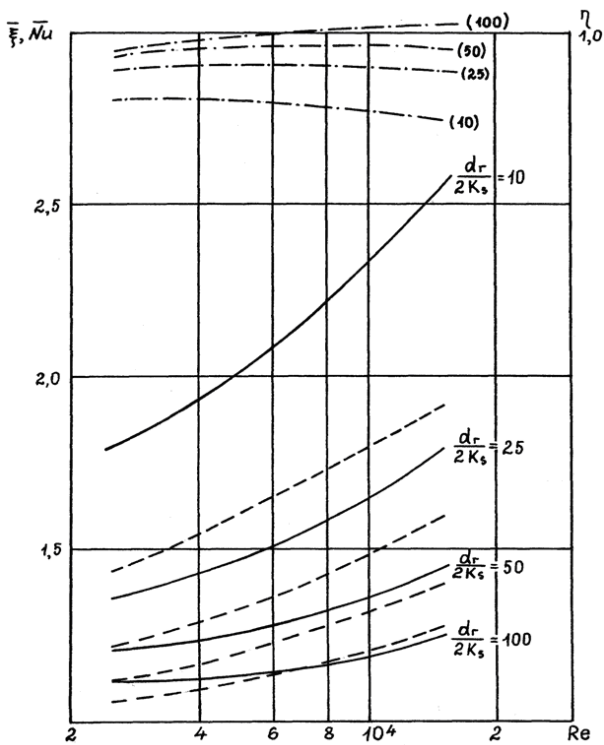


Рис. 3. Зависимость относительных трения  $\bar{\xi}$  (сплошная кривая) и теплоотдачи  $\bar{Nu}$  (штриховая кривая) и эффективности  $\bar{\eta} = \bar{Nu} / \bar{\xi}$  для шероховатых поверхностей от числа Рейнольдса (вода,  $Pr=7$ ).

Подробное аналитическое решение для температурного поля при термическом сопротивлении между ребрами получено в [5] (включая двухстороннее расположение термосопротивления, характерное для систем охлаждения из гофров). Там же проанализировано влияние на коэффициент приведенной теплоотдачи  $\alpha_{пр}$ , скачок температуры на границе пластина-ребро в зависимости от интенсивности охлаждения, величины термического сопротивления  $\bar{R}_T = \lambda R_T / h_K$  и места его расположения.

Здесь анализируется влияние термосопротивления на коэффициент интенсификации теплоотдачи  $K_{ин} = f(\varepsilon, R_T) = \alpha_{пр} / \alpha_0$  и термоперемещение нагреваемой поверхности.

Напомним, что, если имеется термосопротивление со стороны теплонагруженной стороны теплообменника (т.е.  $R_{T1} = R_T$ ,  $R_{T2} = 0$ ), то приведенная теплоотдача описывается формулой [5]:

$$\alpha_{пр} = \varepsilon \alpha_0 + (1 - \varepsilon) \frac{\lambda m t h (m h + \varphi)}{1 + \lambda m R_T t h (m h + \varphi)} \quad (4)$$

Коэффициент интенсификации теплоотдачи при отсутствии термосопротивления имеет вид:

$$K_{ин} = \frac{\alpha_{пр}}{\alpha_0} = \frac{(1 - \varepsilon) D}{Bi_0} \frac{(1 - \varepsilon) D \text{th}(D\tilde{h}) + \varepsilon Bi_0}{(1 - \varepsilon) D + \varepsilon Bi_0 \text{th}(D\tilde{h})} + \varepsilon \quad (5)$$

где  $\tilde{h} = h / d_s$ ,  $D = \sqrt{Bi / (1 - \varepsilon)}$ ,  $Bi = \alpha_v d_s^2 / \lambda = 2\varepsilon(2\tilde{h} - 1)Nu / (\Lambda\tilde{h})$ ,  $Bi_0 = Nu / \Lambda$ ,  $\Lambda = \lambda / \lambda_{ж}$ .

Опуская преобразования, из формулы (5) получено:

$$K_{ин}(R_T) = \frac{(1 - \varepsilon) D}{Bi_0} \frac{(1 - \varepsilon) D \text{th}(D\tilde{h}) + \varepsilon Bi_0}{(1 - \varepsilon) D + \varepsilon Bi_0 \text{th}(D\tilde{h}) + \bar{R}_T \tilde{h} D [\varepsilon Bi_0 + (1 - \varepsilon) D \text{th}(D\tilde{h})]} + \varepsilon \quad (6)$$

Выделяя в явном виде пористость и, несколько преобразуя константы, получим выражения для вариантного расчета  $K_{ин}$  (например, на микрокалькуляторе) для канальной системы охлаждения:

$$K_{ин}(R_T) = \frac{\sqrt{C_1 \varepsilon (1 - \varepsilon)}}{C_2} \frac{\sqrt{C_1 \varepsilon (1 - \varepsilon)} \operatorname{th} \left[ \sqrt{\tilde{h}^2 C_1 \varepsilon / (1 - \varepsilon)} \right] + \varepsilon C_2}{\sqrt{C_1 \varepsilon (1 - \varepsilon)} + \varepsilon C_2 \operatorname{th} \left[ \sqrt{\tilde{h}^2 C_1 \varepsilon / (1 - \varepsilon)} \right] + \bar{R}_T \sqrt{\tilde{h}^2 C_1 \varepsilon / (1 - \varepsilon)} \left[ \varepsilon C_2 + \sqrt{C_1 \varepsilon (1 - \varepsilon)} \operatorname{th} \left[ \sqrt{\tilde{h}^2 C_1 \varepsilon / (1 - \varepsilon)} \right] \right] + \varepsilon} \quad (7)$$

где  $C_1 = (\text{Nu}/\Lambda)[2(2\tilde{h} - 1)/\tilde{h}]$ ,  $C_2 = \text{Nu}/\Lambda$ .

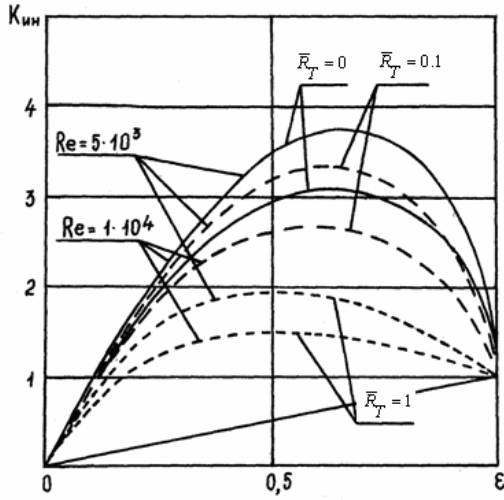


Рис. 4. Зависимость коэффициента интенсификации теплоотдачи от пористости при параметрическом изменении скорости течения теплоносителя и величины термического сопротивления  $\bar{R}_T$  ( $\bar{R}_T = \lambda R_T / h$ ) (прямоугольный канал из меди,  $h_k = 4$  мм,  $d_p = 1.6$  мм).

Полученную формулу (7) проиллюстрируем для канальной системы охлаждения ( $h_k = 4$  мм,  $\delta_k = \delta_p = 1$  мм), сформированной в меди ( $\Lambda = 380/0.6$ ), по каналам которой в турбулентном режиме протекает вода комнатной температуры ( $\text{Pr} \approx 7$ ,  $\text{Nu} = 0.021 \text{Pr}^{0.43} \text{Re}^{0.8}$ ). В зависимости от пористости при параметрическом изменении числа  $\text{Re}$  и термосопротивления получен график на рис.4. Наряду с двукратным уменьшением  $K_{ин}$  при  $\bar{R}_T = 1$  по сравнению с  $\bar{R}_T = 0$  имеется также тенденция к уменьшению оптимальной пористости с  $\varepsilon = 0.75 \div 0.8$  до  $\varepsilon = 0.45 \div 0.55$ .

Деформации тепловоспринимающей стороны теплообменника состоят из термодвижений за счет терморасширения и изгиба. Так как изгибную составляющую можно однозначно связать с терморасширением, то анализировалось только поведение терморасширения без и с

термосопротивлением. Согласно [5] терморасширение пакета охлаждения  $\delta(R_T)$  с учетом термосопротивления со стороны теплонагруженной пластины рассчитывается по формуле:

$$\delta(R_T) = \frac{q_0 \beta}{\lambda m} \left\{ \frac{m h_1^2}{2} + \frac{h_1 m [1 + R_T \lambda m \operatorname{th}(m h + \varphi) \operatorname{ch}(m h + \varphi) + \operatorname{sh}(m h + \varphi) - m(h_1 + h) \operatorname{sh} \varphi \operatorname{ch} \varphi]}{(1 - \varepsilon) m \left[ \operatorname{sh}(m h + \varphi) \left( 1 + \frac{\varepsilon}{1 - \varepsilon} \alpha_0 R_T \right) + \operatorname{th} \varphi \operatorname{ch}(m h + \varphi) \right]} \right\} \quad (8)$$

Вводя обозначения  $x = m h$ ,  $y = m h + \varphi$ ,  $\bar{R}_T = R_T \lambda / h$ ,  $\bar{h} = h_1 / h$ , и обезразмеривая (8), получим

$$\bar{\delta}(R_T) = \frac{\delta(R_T)}{\left( \frac{q_0 \beta h_1^2}{\lambda} \right)} - \frac{1}{2} = \frac{\bar{h} (1 + \bar{R}_T x \operatorname{th} y) \operatorname{ch} y + \operatorname{sh} y - \operatorname{sh} \varphi - \bar{h} x \operatorname{ch} \varphi - x \operatorname{ch} \varphi}{(1 - \varepsilon) x^2 \bar{h}^2 \left[ \operatorname{sh} y \left( 1 + \frac{\varepsilon}{1 - \varepsilon} \alpha_0 R_T \right) + \operatorname{th} \varphi \operatorname{ch} y \right]} \quad (9)$$

При  $R_T = 0$  имеем из (9)

$$\bar{\delta} = \frac{\delta}{\left( \frac{q_0 \beta h_1^2}{\lambda} \right)} - \frac{1}{2} = \frac{\operatorname{ch} \varphi [\operatorname{ch} y + \operatorname{ch} \varphi - \frac{1}{x \bar{h}} (\operatorname{sh} y - \operatorname{sh} \varphi - x \operatorname{ch} \varphi)]}{(1 - \varepsilon) x \bar{h} \operatorname{sh}(x + 2\varphi)} \quad (10)$$

Степень воздействия термосопротивления на перемещение охарактеризуем отношением

$$\tilde{\delta} = \frac{\bar{\delta}(R_T)}{\bar{\delta}} = \frac{\{\bar{h}x[1 + \bar{R}_T x \text{th } y] \text{ch } y + \text{sh } y - \text{sh } \varphi - \bar{h}x \text{ch } \varphi - x \text{ch } \varphi\} \text{sh}(x + 2\varphi)}{x\bar{h} \text{ch } \varphi [\text{sh } y(1 + \bar{R}_T x \text{th } y) + \text{th } \varphi \text{ch } y] \left[ \text{ch } y - \text{ch } \varphi + \frac{\text{sh } y - \text{sh } \varphi - x \text{ch } \varphi}{x\bar{h}} \right]}. \quad (11)$$

Несмотря на сложную функциональную зависимость, (11) не содержит размерных величин и позволяет провести качественный и количественный анализ по безразмерным комплексам  $X$ ,  $\bar{R}_T$ ,  $\varphi$ . Относительное терморасширение  $\tilde{\delta}$  возрастает с увеличением  $X$ ,  $\bar{R}_T$  и уменьшается с ростом  $\varphi$ , и наиболее сильно проявляет себя при больших  $X$  (рис.5). Паяное соединение материалов с  $\lambda=150\div 400$  Вт/(м·К) может увеличить  $\tilde{\delta}$  на 15÷100%.

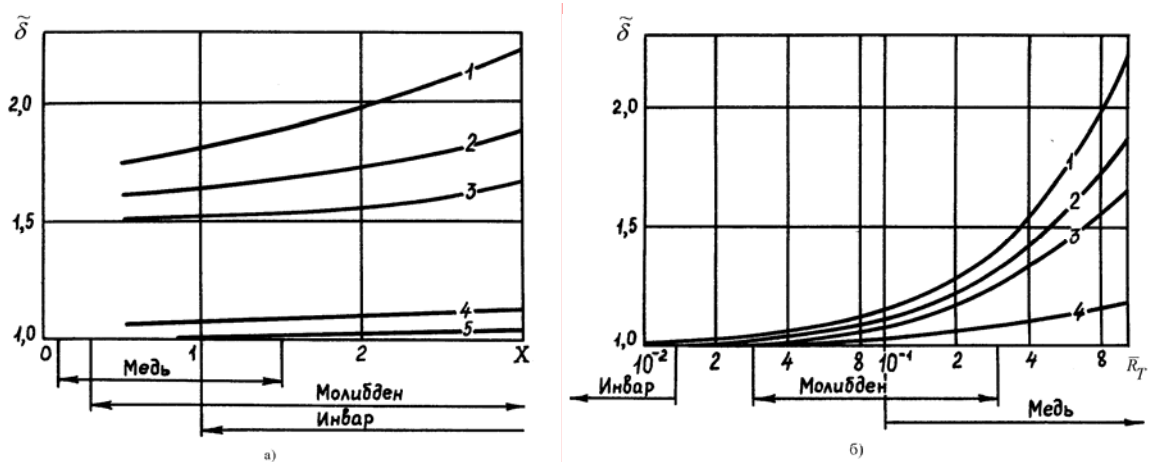


Рис. 5. Влияние термического сопротивления между подложкой и ребрами на относительное терморасширение при  $\bar{h}=1/3$ : а) в зависимости от интенсивности охлаждения  $X$  (1-3 -  $\bar{R}_T=1$ ; 1 -  $\varphi=0.1$ ; 2 -  $\varphi=0.2$ ; 3 -  $\varphi=0.3$ ;) 4 -  $\bar{R}_T=0.1$ ;  $\varphi=0.1$ ; 5 -  $\bar{R}_T=0.01$ ,  $\varphi=0.1\div 0.5$ ; б) в зависимости от термического сопротивления  $\bar{R}_T$  при  $X=3$  (1 -  $\varphi=0.1$ , 2-  $\varphi=0.2$ ; 3 -  $\varphi=0.3$ , 4 -  $\varphi=1.0$ ).

## Литература

- [1] Фотеев Н.К. Влияние режимов электроэрозионной обработки на характеристики микрогеометрии поверхностей сталей и сплавов. – Электронная обработка материалов, 1976, №1. с. 5-7.
- [2] Фотеев Н.К. Особенности поверхностей, обработанных электроэрозионным способом. – Электронная обработка материалов, 1979, №6. с. 5-8.
- [3] Мигай В.К. Повышение эффективности современных теплообменников. - Л.: Энергия, 1980. – 143 с.
- [4] Калинин Э.К., Дрейцер Г.А., Ярхо С.А. Интенсификация теплообмена в каналах. - М.: Машиностроение, 1981. – 205 с.
- [5] Шанин Ю.И., Федосеев В.Н., Шанин О.И. Влияние неидеальности контакта на теплообмен в компактных теплообменниках. – ИФЖ, 1991, т.60, №5, с. 776-782.